

Шифрование изображений с использованием хаотической динамики

1

Сидоренко А.В., Шишко М. С.

Белорусский государственный университет, г. Минск

E-mail: sidorenkoa@yandex.ru


Введение

- ▶ Одним из перспективных направлений в современной криптографии является разработка алгоритмов шифрования с использованием хаотической динамики.
- ▶ Позитивными для шифрования информации, в том числе, и представленной в виде изображений, является наличие таких важных свойств, как чувствительность к начальным условиям и системным параметрам, свойства псевдослучайности и топологической транзитивности.

Введение

В работе предложен алгоритм шифрования изображений на основе хаотической динамики, оптимизированный для параллельных вычислений.


Проводится оценка стойкости к статистическому и линейному криптоанализу, а также оценка производительности алгоритма.



Алгоритм шифрования изображений на основе хаоса


Для снижения количества шифруемой информации в процессе шифрования производится сжатие растрового изображения. Для этого к исходному шифруемому изображению применяется дискретное вейвлет - преобразование. При этом данные вейвлет - преобразования применяются поочередно ко всем строкам, а затем ко всем столбцам растрового изображения.

Для сжатия без потерь используется биортогональный вейвлет CDF 5/3.



Алгоритм шифрования изображений на основе хаоса

- ▶ Изображение разбивается на четыре поддиапазона:
LL, HL, LH, HH.
- ▶ LL –поддиапазон содержит уменьшенную копию исходного изображения, а LH-, HL- и HH-поддиапазоны- уточняющие коэффициенты, позволяющие восстановить изображение.
- ▶ После вейвлет - преобразования коэффициенты LL-поддиапазона отделяются от остальных вейвлет - коэффициентов.
- ▶ LL-поддиапазон содержит максимальное количество информации об исходном изображении по сравнению с другими поддиапазонами и поэтому шифруется отдельно.



Алгоритм шифрования изображений на основе хаоса

- В предлагаемой работе LL-диапазон шифруется с помощью перестановочно-рассеивающего алгоритма.
- Для улучшения безопасности параметры, управляющие перестановкой и диффузией, могут быть различными в разных раундах.
- Это достигается циклическим ключевым генератором с изначальным секретным ключом.
- В криптографических системах этап перестановки, этап диффузии и ключевой генератор могут быть реализованы с помощью хаотических отображений.

Алгоритм шифрования изображений на основе хаоса

- Для перестановки и рассеяния используется хаотическое тент-отображение

$$f(x_n) = \begin{cases} \mu x_n & \text{при } x_n < \frac{1}{2} \\ \mu(1 - x_n) & \text{при } \frac{1}{2} \leq x_n \end{cases}$$

где μ – параметр отображения

Алгоритм шифрования изображений на основе хаоса


- ▶ В качестве ключа шифрования используется начальное условие $x_0(-1) \in (0, 1)$ для хаотического отображения.

Для обеспечения стойкости алгоритма к дифференциальному криптоанализу данное начальное условие модифицируется с помощью хеш-суммы, вычисляемой по алгоритму SHA-2.

На основе модифицированного начального условия $x_0(0)$ генерируются начальные условия для каждой строки и столбца согласно


$$x_0(n+1) = \sin(\pi \cdot x_0(n)) \quad n = \overline{0, M+N},$$

где $x_0(n)$ – начальные условия для строк и столбцов; N и M – число строк и столбцов соответственно.



Алгоритм шифрования изображений на основе хаоса

- Для сжатия изображения производится вложенное кодирование уточняющих вейвлет-коэффициентов с помощью алгоритма НВСТ (Hardware Block Cluster Tree).
- Данный метод использует построение кластерных деревьев в пределах квадратных блоков битовых плоскостей матрицы вейвлет-коэффициентов и прогрессивное вложенное кодирование.
- В процессе кодирования кодер проходит по пространственно-частотным диапазонам битовой плоскости, начиная с LHn и заканчивая $HH1$.

A decorative graphic on the left side of the slide. It features a dark blue vertical bar on the far left. A black arrow points to the right from the top of this bar. Several thin, light blue lines curve upwards and to the right from the bottom left area, overlapping the vertical bar and extending towards the center of the slide.

Алгоритм шифрования изображений на основе хаоса

- ▶ После сжатия уточняющие коэффициенты шифруются блочным алгоритмом шифрования на основе обратимых клеточных автоматов.
- ▶ Шифруемые данные делятся на блоки, каждый из которых шифруется независимо от остальных. Для каждого блока генерируется собственный ключ, формирование которого происходит с помощью кусочно-линейного отображения.

Алгоритм шифрования изображений на основе хаоса

- Сначала для каждого блока генерируется собственный ключ. Для этого с помощью кусочно-линейного отображения

$$f(x_n) = \begin{cases} \frac{x_n}{p}, & 0 < x_n < p \\ \frac{x_n - p}{1/2 - p}, & p < x_n < 1/2 \\ f(1 - x_n), & 1/2 < x_n < 1 \end{cases} .$$

где p – параметр отображения, для каждого блока генерируются четыре числа:

$$\begin{cases} x_1^1 = f(x_0); \\ x_1^i = f(x_4^{i-1}); x_2^i = f(x_1^i); x_3^i = f(x_2^i); x_4^i = f(x_3^i), \end{cases}$$

Алгоритм шифрования изображений на основе хаоса

Данные четыре числа приводятся к целочисленному представлению

$$n_k^i = \lfloor 2^{32} \cdot x_k^i \rfloor$$

Из них строится маска для блока N_i . Затем формируется подключ Sk_i

Путем сложения по модулю два маски для блока N_i и общего ключа шифрования K

$$Sk_i = K \oplus N_i$$

Алгоритм шифрования изображений на основе хаоса


Шифруемый 256-битный блок данных делится на две равные части BL_i и BH_i . Обе части складываются по модулю два с подключом Sk_i .

$$BL'_i = BL_i \oplus Sk_i$$

$$BH'_i = BH_i \oplus Sk_i$$


В качестве начальной конфигурации клеточного автомата C_0 принимается BH'_i , а BL'_i принимается в качестве конфигурации, предшествующей начальной $C-1$.

В качестве эволюционной функции был использован циклический битовый сдвиг. Последние конфигурации C_{79} и C_{80} складываются по модулю два с подключом Sk_i , в результате чего получается блок зашифрованного текста.



Алгоритм шифрования изображений на основе хаоса

- ▶ Одной из основных проблем, присущих алгоритмам шифрования изображений, является большое время шифрования. Включенный в алгоритм метод вейвлет-сжатия НВСТ не всегда позволяет добиться необходимого уровня производительности. Нами предлагается применение параллельных вычислений как способа, позволяющего повысить производительность.
- ▶ Описанный алгоритм разрабатывался так, чтобы максимизировать использование параллельных вычислений. Дискретное вейвлет-преобразование каждого столбца производится независимо, что позволяет осуществлять эти вычисления в несколько потоков. При шифровании LL-поддиапазона обработка строк и столбцов производится параллельно в пределах одного раунда. Кодирование и шифрование вейвлет-коэффициентов происходят в блоках фиксированного размера, причем каждый блок обрабатывается независимо от других, что позволяет производить данные вычисления параллельно.

A decorative graphic on the left side of the slide. It features a dark blue vertical bar on the far left. A black arrow points to the right from the top of this bar. Below the arrow, several thin, curved lines in shades of blue and grey sweep upwards and to the right across the slide.

Алгоритм шифрования изображений на основе хаоса

- ▶ В настоящей работе для параллельных вычислений используются неспециализированные вычисления на графическом процессоре или GPGPU (General-purpose computing for graphics processing units) с применением фреймворка OpenCL.

Оценка стойкости алгоритма

- Для оценки стойкости предложенного алгоритма к различным видам криптоанализа разработана программа на языке C++.
- Алгоритм шифрования LL - поддиапазона был протестирован на устойчивость к статистическому и дифференциальному криптоанализу.
- Блочный алгоритм шифрования вейвлет-коэффициентов был протестирован с помощью набора тестов SP 800-22. В тестах использовались изображения «Лена», «Мандрил» и «Перцы», которые являются стандартными тестовыми изображениями для проверки работы алгоритмов обработки изображений.

Оценка стойкости алгоритма

- Для оценки стойкости алгоритма к статистическому криптоанализу были вычислены коэффициенты корреляция между соседними пикселами по горизонтали, вертикали и диагонали, а также информационная энтропия.
- Для оценки стойкости к дифференциальному криптоанализу производятся следующие действия. Открытый текст изображения зашифровывается и получается изображение-шифр С1. Затем выбирается произвольный пиксел в открытом тексте, чтобы обеспечить небольшое изменение, которое добавляется/вычитается к его десятичному значению, или переключается младший значащий бит. Измененное изображение шифруется с использованием того же ключа для получения нового изображения-шифра С2. Эти два изображения-шифра сравниваются с помощью следующих критериев: процента измененных пикселей (NPCR – Near Pixel Change Rate) и среднего изменения интенсивности (UACI – Unified Averaged Changed Intensity) – меры различия средней интенсивности между двумя шифрами.

Оценка стойкости алгоритма

- Процент измененных пикселей рассчитывается следующим образом

$$NPCR = \frac{\sum_{i=1, j=1}^{M, N} D(i, j)}{M \times N} \times 100 \%;$$

$$D(i, j) = \begin{cases} 1 & C1(i, j) = C2(i, j) \\ 0 & C1(i, j) \neq C2(i, j) \end{cases}$$

Чем ближе данный коэффициент к 100 %, тем большую стойкость имеет алгоритм к дифференциальному криптоанализу.

Оценка стойкости алгоритма

- Среднее изменение интенсивности (UACI – Unified Averaged Changed Intensity) – мера различия средней интенсивности между двумя шифрами определяется по формуле

$$UACI = \frac{1}{M \times N} \sum_{i=1, j=1}^{M, N} \frac{C1(i, j) - C2(i, j)}{L} \times 100 \%$$

L – число возможных уровней яркости.

Чем ближе данный показатель к 33 %, тем больше стойкость к дифференциальному криптоанализу.



Оценка стойкости алгоритма

- Проведенная оценка стойкости алгоритма шифрования данных к статистическому и дифференциальному криптоанализу показала высокий уровень стойкости к данным видам криптоанализа.



Оценка производительности алгоритма

- Для осуществления тестирования производительности алгоритма было зашифровано с использованием сжатия без потерь тестовое изображение "Мандрил" в различных разрешениях.
- Тестирование проводилось с помощью интегрированного графического процессора Intel(R) HD Graphics 4000 и центрального процессора Intel Core i5-3230M.
- На рис. 1, а показана зависимость времени шифрования от количества пикселей для изображений малого размера (разрешение до 512×512 пикселей). Из графика видно, что зависимость имеет экспоненциальный характер. Однако для большого размера шифруемого изображения (разрешение более 512×512 точек) зависимость имеет линейный характер (рис. 1, б).

Оценка производительности алгоритма

- ▶ На рис. 1 показана зависимость времени шифрования от количества пикселей для изображений

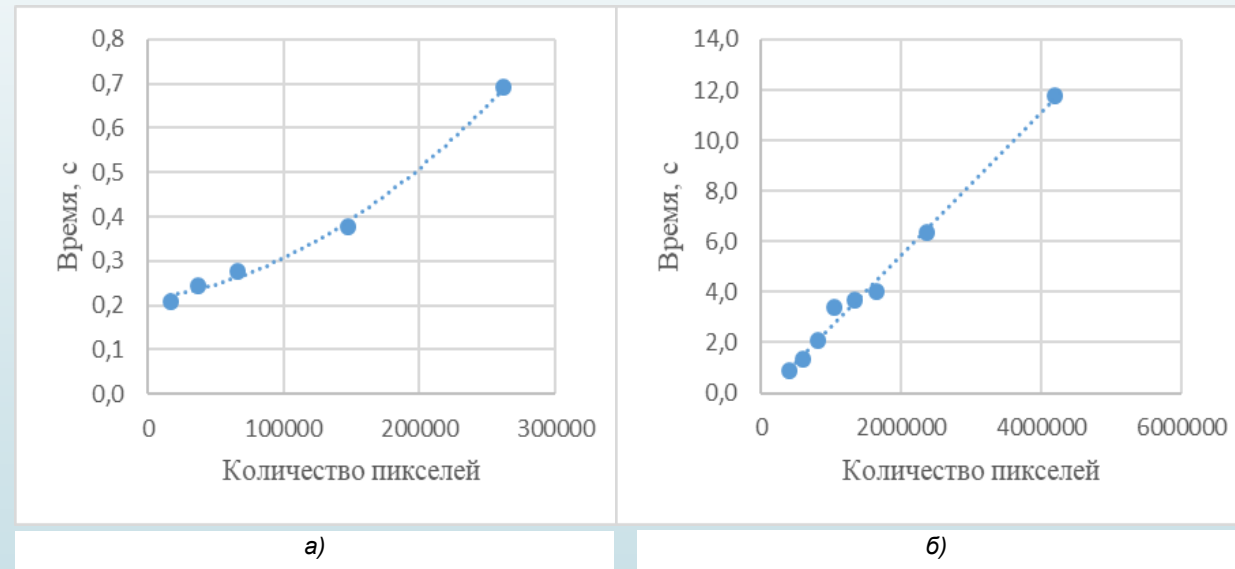


Рис. 1. Зависимость времени шифрования от количества пикселей в изображении:
а) для изображений малого размера; б) для изображений большого размера



Оценка производительности алгоритма

- Из графика видно, что зависимость имеет экспоненциальный характер для малых изображений. Однако для большого размера шифруемого изображения (разрешение более 512×512 точек) зависимость имеет линейный характер (рис. 1, б).
- Скорость шифрования при сжатии без потерь находится на уровне 8 Мбит/с.

Заключение

- Разработан алгоритм шифрования изображений с использованием хаотической динамики, оптимизированный для параллельных вычислений. В качестве хаотических отображений для перестановочно-рассеивающего алгоритма используется тент-отображение, а для шифрования уточняющих вейвлет-коэффициентов – хаотическое кусочно-линейное отображение.
- Проведена оценка стойкости алгоритма шифрования LL-поддиапазона вейвлет-коэффициентов к статистическому и дифференциальному криптоанализу. Оценка показала высокий уровень стойкости этой части алгоритма к данным видам криптоанализа.

Заключение

- Протестирован алгоритм шифрования уточняющих вейвлет-коэффициентов с использованием набора статистических тестов SP 800-22. Оценка показала схожесть генерируемого алгоритмом выходного битового потока со случайным потоком по большинству критериев, что означает высокую стойкость данной части алгоритма к статистическому криптоанализу.
- Тестирование производительности разработанного алгоритма показало его высокий уровень. Средняя скорость шифрования с использованием сжатия без потери качества составляет 8 Мбит/с.

A dark blue arrow points to the right from the left edge of the slide. Below it, several thin, curved lines in shades of blue and grey sweep upwards and to the right, creating a sense of movement and design.

Спасибо за внимание